

図-22 供給廃液変更時の電力調整 (KMOC試験) (1/2)

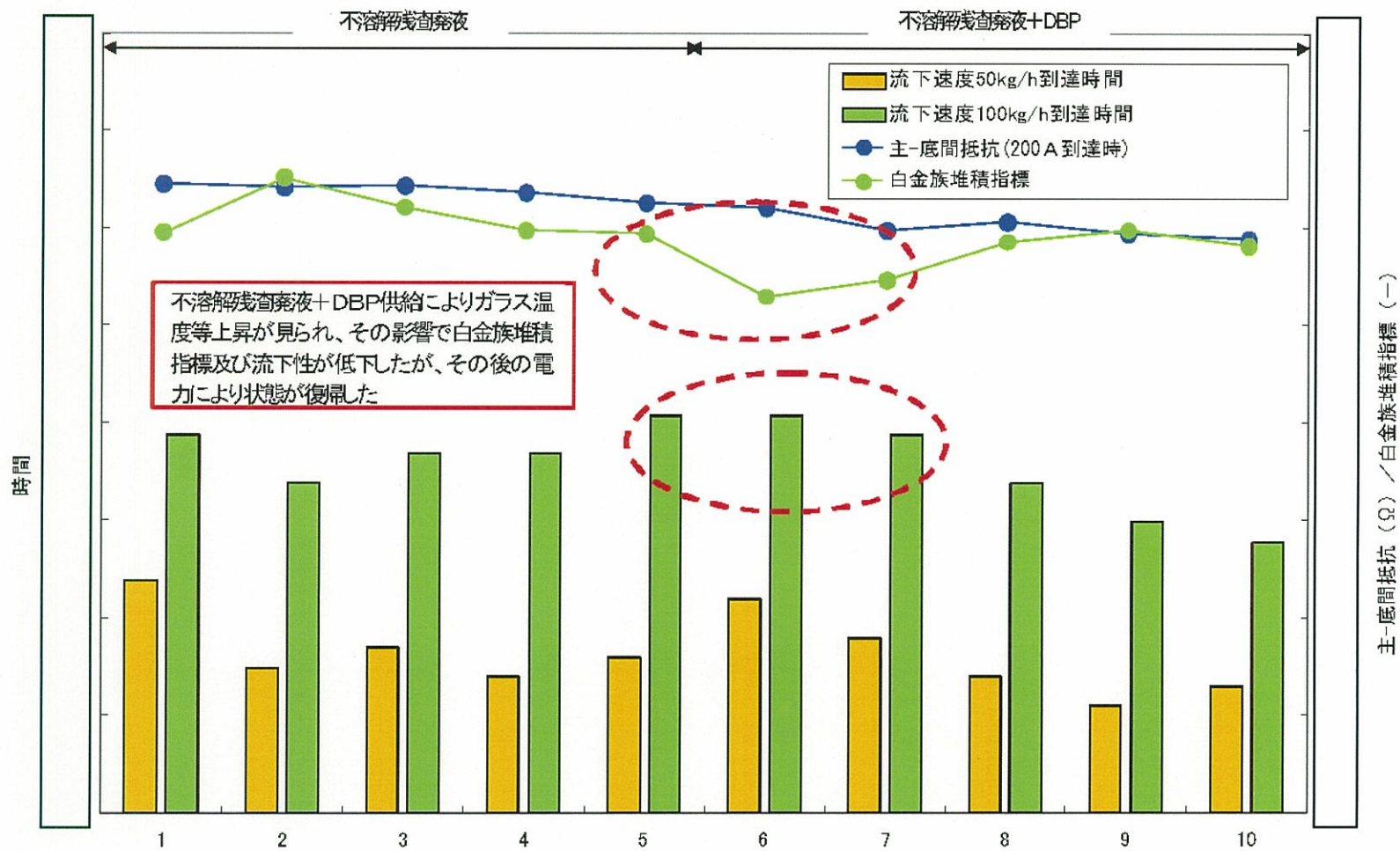


図-22 供給廃液変更時の電力調整 (KMOC試験) (2/2)

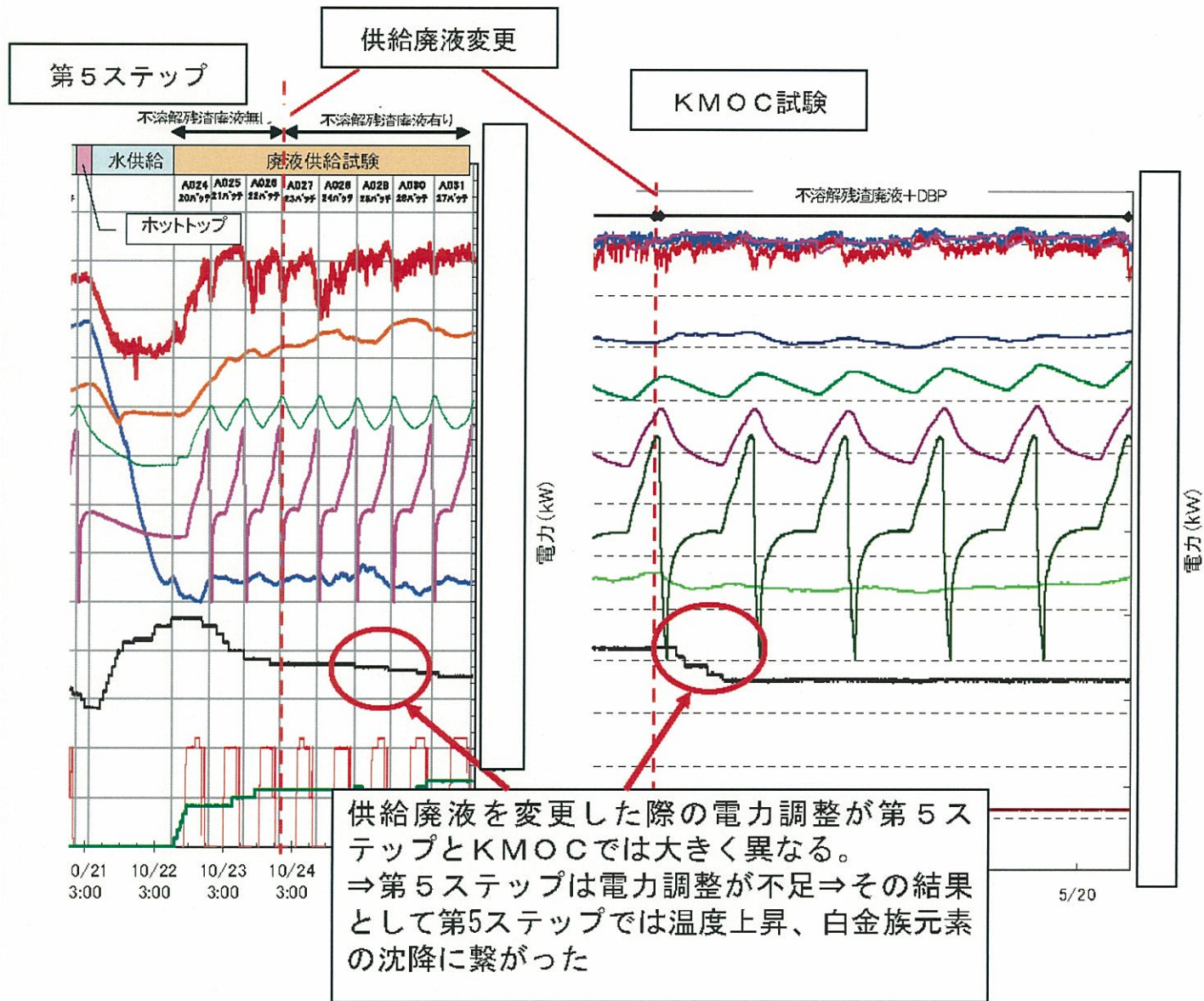


図-23 供給廃液変更時の電力調整量の比較



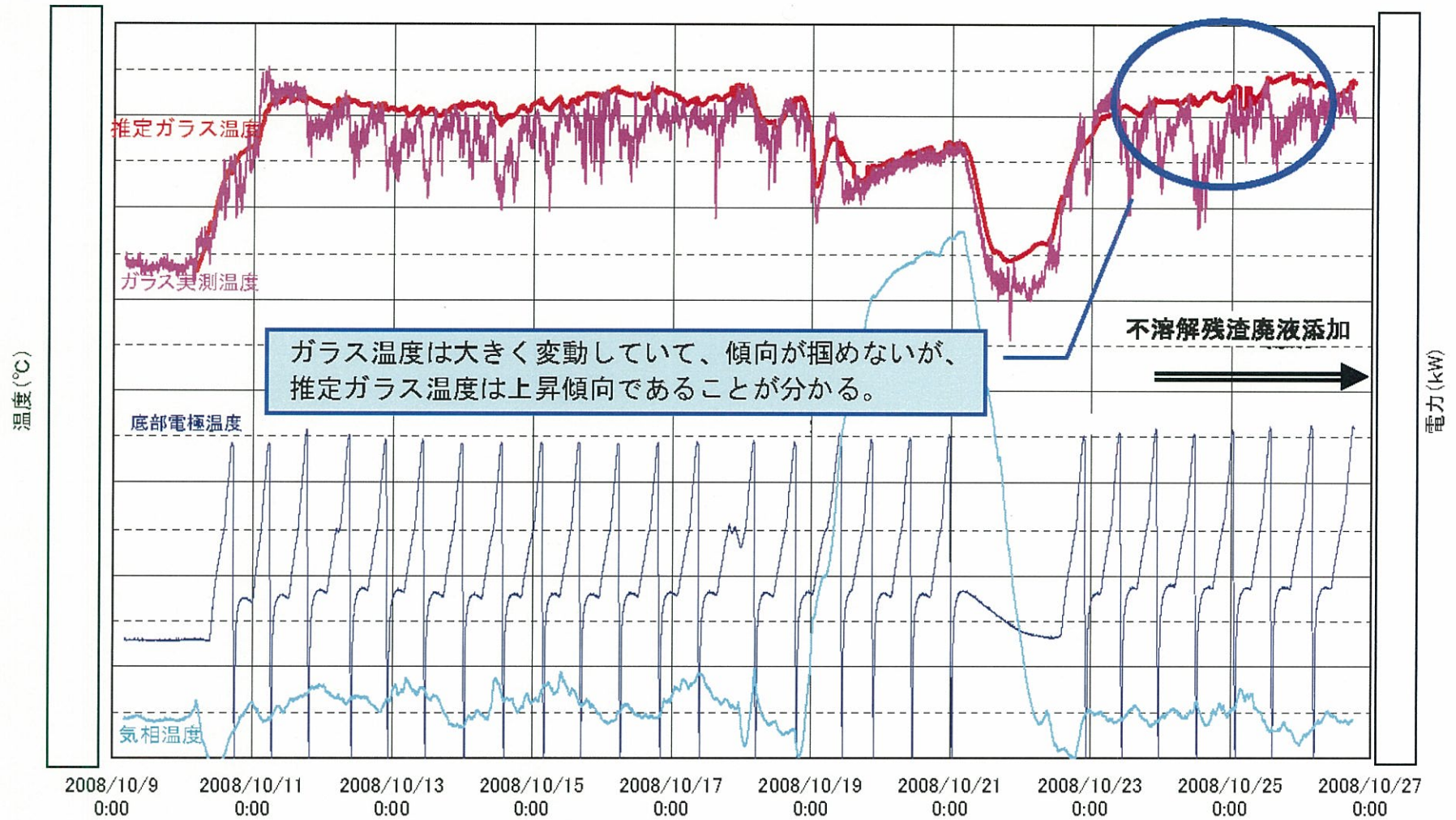
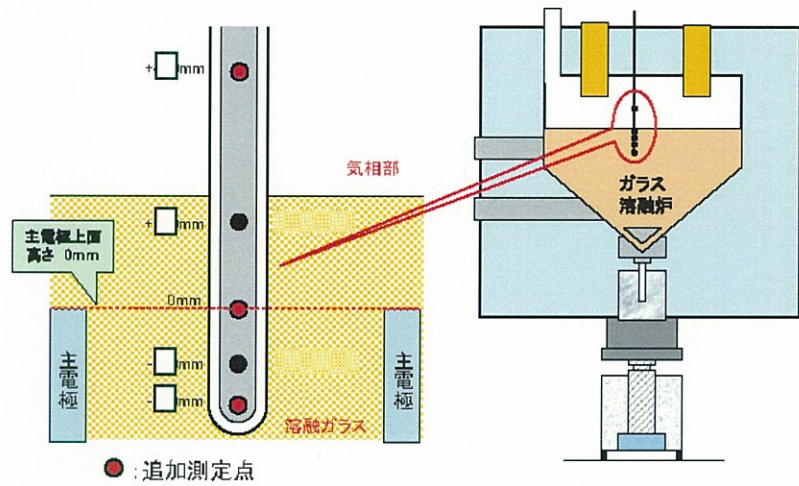
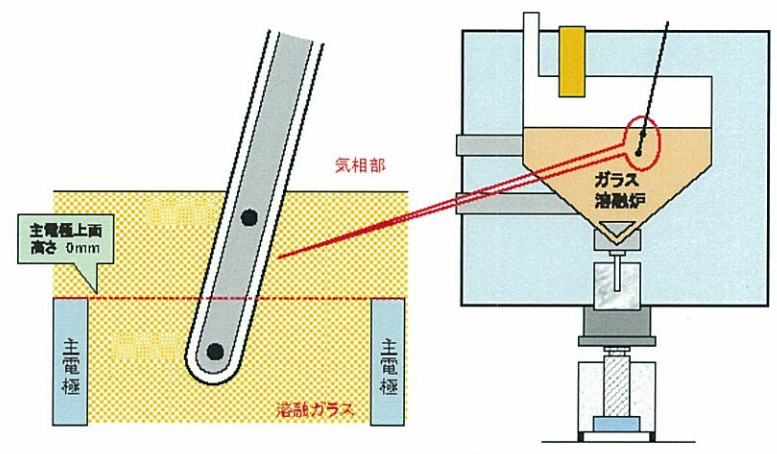


図-24 第5ステップにおける不溶解残渣廃液供給以降の温度変化

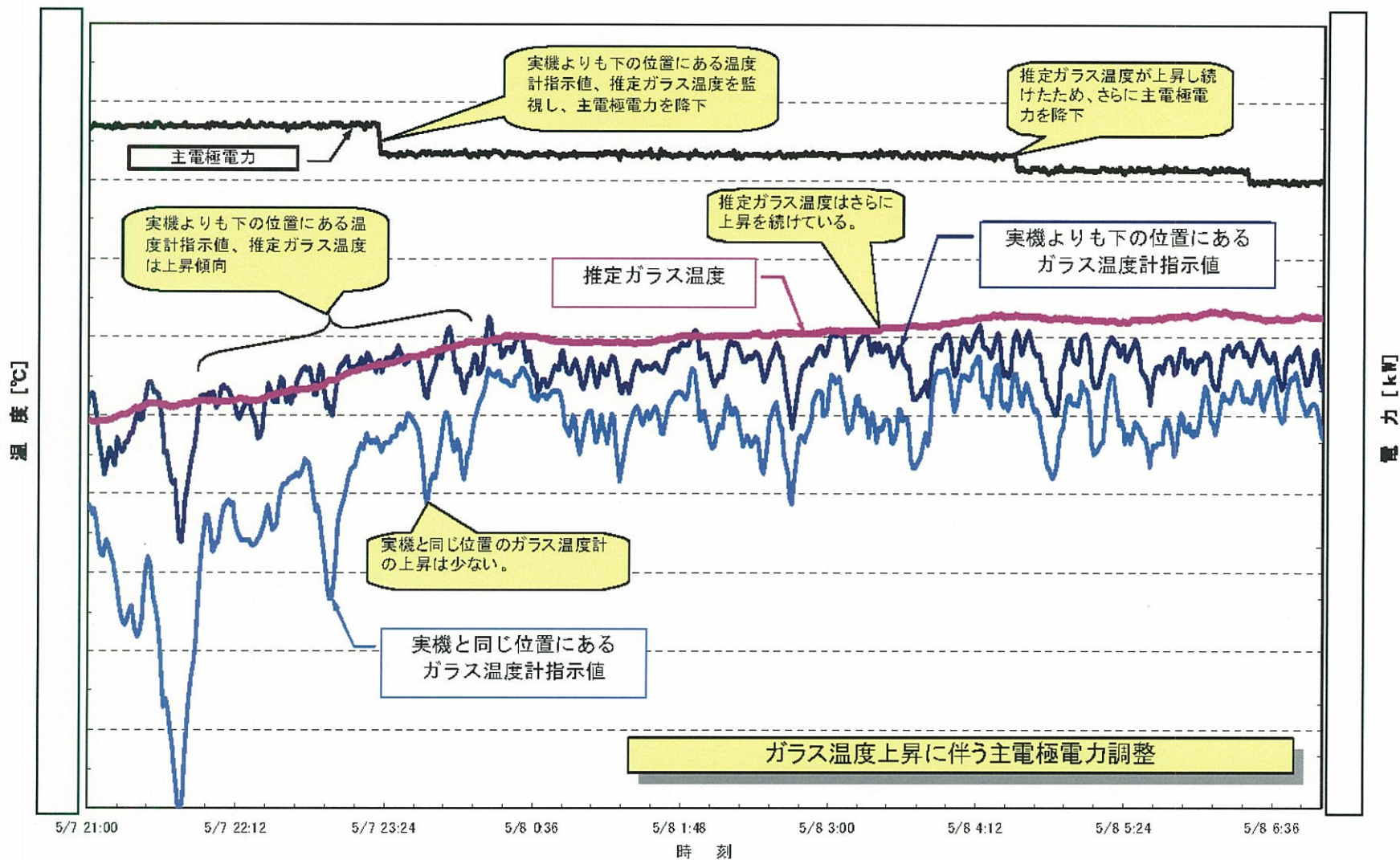


多点式温度計



斜め温度計

図-25 ガラス温度測定点の増加



図一 26 複数の温度指示値及び推定ガラス温度を用いた電力調整例 (KMOC試験)



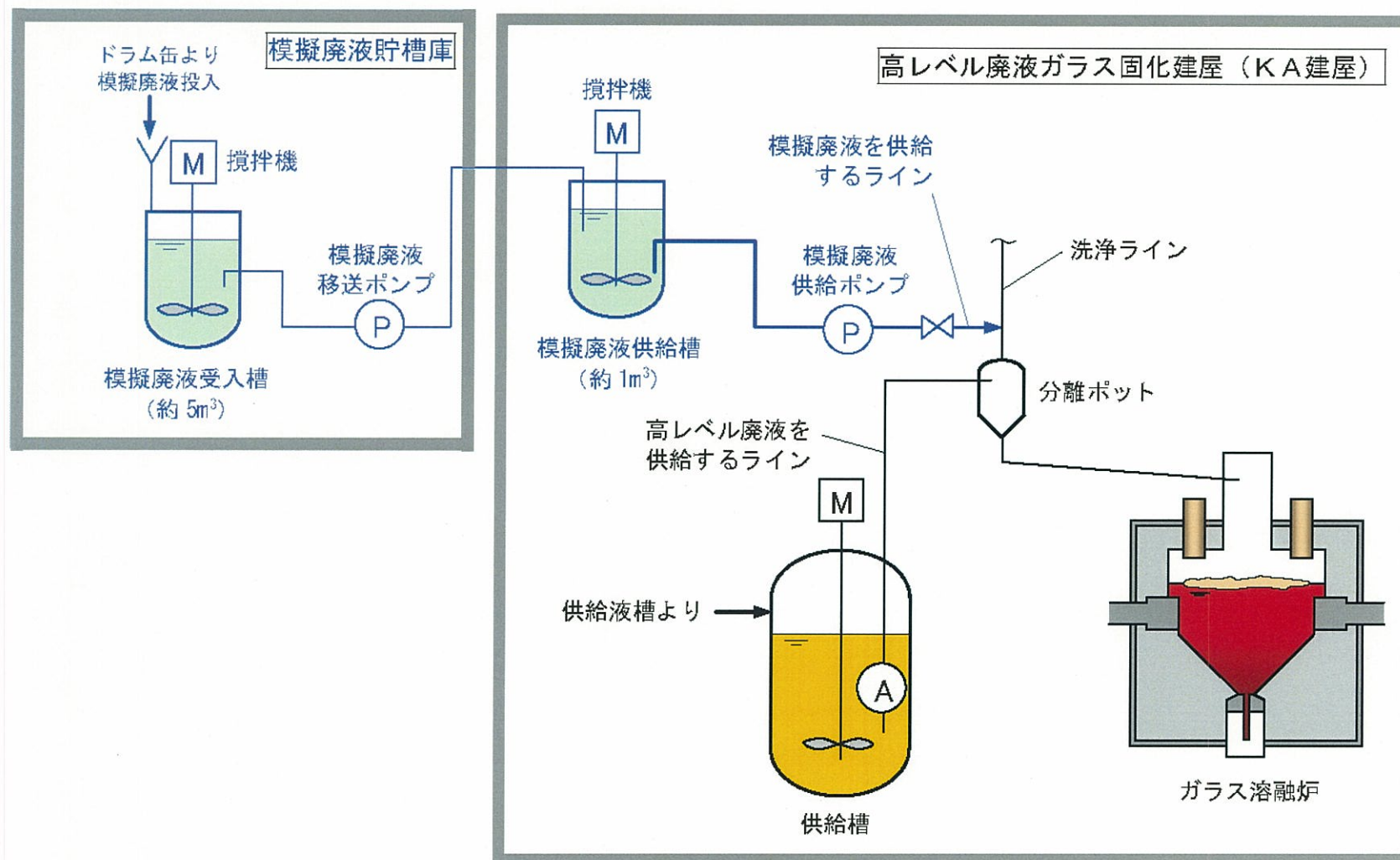


図-27 低模擬廃液による洗浄運転を行うための設備